

文章编号: 0253-374X(2015)09-1308-05

DOI: 10.11908/j.issn.0253-374x.2015.09.004

# 基于非线性强度准则的城市固废本构模型

吕玺琳<sup>1,2</sup>, 黄茂松<sup>1,2</sup>, 王 蓉<sup>3</sup>

(1. 同济大学 岩土及地下工程教育部重点实验室, 上海 200092; 2. 同济大学 土木工程学院, 上海 200092;  
3. 上海岩土工程勘察设计研究院有限公司, 上海 200032)

**摘要:** 考虑到城市固体废弃物(MSW)抗剪强度常具有非线性的特点, 建立了一个基于幂函数形式的强度准则。并据此分析了该准则转换为线性 Mohr-Coulomb 准则时摩擦角的变化规律。结果表明, 该准则能合理反映内摩擦角随围压增大而降低的特性。基于幂函数强度准则, 采用增量硬化准则建立屈服函数, 并通过构建合理的塑性势函数, 建立了一个非相关流动法则的固废弹塑性本构模型。通过对固废三轴固结排水试验结果模拟表明, 所建立的本构模型不仅能合理模拟应力-应变关系, 亦能正确反映其体变特性。

**关键词:** 城市固废; 非线性强度; 弹塑性; 本构模型

中图分类号: TU432

文献标志码: A

elasto-plasticity; constitutive model

城市固体废弃物(municipal solid waste, MSW 以下称为城市固废)由于组分复杂, 加之生化降解等多种因素影响, 其物理力学特性常较复杂。考虑到固废力学特性对填埋场稳定性及变形分析的重要性, 因而有必要针对其强度和本构特性进行深入研究。

固废强度常通过线性 Mohr-Coulomb 准则描述, 在当变形较大固废仍未破坏时, 可采用应变 10%~15% 对应的抗剪强度确定<sup>[1]</sup>。以往试验结果表明, 固废粘聚力一般在 0~67 kPa 范围, 摩擦角则位于 0°~43° 范围。随着龄期增长, 固废充分降解后, 粘聚力迅速降低甚至到 0<sup>[2]</sup>。然而, 线性 Mohr-Coulomb 准则只能描述与常规土体力学性质相近的固废强度, 对于大多数固废, 其强度表现为非线性。Bray 等<sup>[3]</sup>通过试验结果的分析, 指出固废摩擦角随平均应力增大而降低, 这进一步得到了 Bareither 等<sup>[4]</sup>试验结果和 Bhandari 和 Powrie<sup>[5]</sup>的证实。Stark 等<sup>[6]</sup>通过总结试验结果和填埋体稳定性强度参数反分析, 进一步证实了固废强度的非线性特性。有关土体非线性强度目前已开展过一些探讨, 并已建立了相应准则(如 Baker<sup>[7]</sup>), 但针对城市固废非线性强度特性还缺乏深入探讨, 且与线性 Mohr-Coulomb 准则间的转换还值得进一步研究。

当前固废本构特性的研究多参照土体开展, 如 Jones 和 Dixon<sup>[8]</sup>利用 Mohr-Coulomb 理想弹塑性模型描述固废本构特性, 用于填埋场稳定性分析。吕玺琳等<sup>[9]</sup>采用 Mohr-Coulomb 硬化模型研究固废本构特性, 并分析了其失稳特性。Machado 等<sup>[10]</sup>将固废看作纤维加筋相和泥状物复合体, 提出了复合本构模型, 冯世进等<sup>[11]</sup>则基于该模型建立了基于邓肯-张

## A Constitutive Model for the Municipal Solid Waste Based on Nonlinear Strength Criterion

LÜ Xilin<sup>1,2</sup>, HUANG Maosong<sup>1,2</sup>, WANG Rong<sup>3</sup>

(1. Key Laboratory of Geotechnical and Underground Engineering of the Ministry of Education, Tongji University, Shanghai 200092, China; 2. College of Civil Engineering, Tongji University, Shanghai 200092, China; 3. Shanghai Geotechnical Investigations & Design Institute Co., Ltd., Shanghai 200032, China)

**Abstract:** Considering the nonlinear characteristic of the shear strength of the municipal solid waste(MSW), a power function strength criterion was proposed. According to the proposed criterion, the friction angle corresponding to the linear Mohr-Coulomb criterion was obtained, and it was shown to decrease with the increasing of the initial confining stress. By adopting the incremental hardening rule and suitable plastic potential function, a non-associated elasto-plasticity model was built. By predicting a series of consolidated drained triaxial tests of MSW, the proposed model was shown to be able to predict the stress-strain relationships of MSW rightly and could give out reasonable volumetric strain.

**Key words:** municipal solid waste; nonlinear shear strength;

收稿日期: 2014-08-21

基金项目: 国家“九七三”重点基础研究发展规划(2012CB719803); 上海市自然科学基金(13ZR1443800); 中央高校基本科研业务费专项资金

第一作者: 吕玺琳(1981—), 男, 工学博士, 副教授, 博士生导师, 主要研究方向为岩土力学与工程. E-mail: xilinlu@tongji.edu.cn

模型的复合本构模型。这些本构模型能合理描述固废应力-应变关系,但缺少对体变特性的探讨。受其复杂组分的影响,固废体变特性与常规土体可能差异较大。高丽亚等<sup>[12]</sup>通过大三轴试验指出,固废体变随围压增大反而减小,与土体体变规律相反,该特性也得到其他试验结果(如 Machado 等<sup>[10]</sup>, Zhan 等<sup>[2]</sup>, 冯世进等<sup>[11]</sup>)的证实。

针对当前有关固废强度和本构描述存在的不足,本文基于幂函数形式的非线性破坏(屈服)准则,并采用合理的塑性势函数,建立了一个合理适用的固体废弃物本构模型,并通过对一系列三轴试验结果模拟进行了对比验证。

## 1 城市固废非线性强度准则

### 1.1 强度准则

为合理描述固废的非线性强度特性,采用幂函数强度准则<sup>[13]</sup>

$$F = q - c - M_f p^\xi \quad (1)$$

式中:广义剪应力  $q = \sqrt{3s_{ij}s_{ij}/2}$ , 偏应力  $s_{ij} = \sigma_{ij} - \delta_{ij}p$ ,  $\delta_{ij}$  为克罗内克符号; 平均应力  $p = \sigma_{kk}/3 = (\sigma_1 + \sigma_2 + \sigma_3)/3$ ,  $\sigma_1, \sigma_2, \sigma_3$  为大、中、小主应力;  $c$  为粘聚力;  $M_f, \xi$  为强度参数, 其对强度线的影响如图 1—2 所示。当  $\xi=1$  时, 式(1)退化为线性 Mohr-Coulomb 准则。

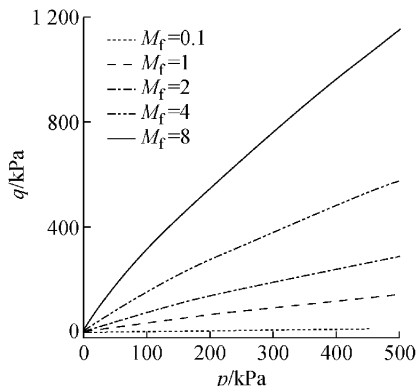


图 1  $M_f$  对强度的影响

Fig.1 Influence of  $M_f$  on failure line

### 1.2 内摩擦角

对降解较充分的高龄期城市固废而言, 其粘聚强度一般较小, 为简单起见, 忽略式(1)中的黏性项进行分析, 峰值内摩擦角  $\varphi$  的计算公式为

$$\varphi = \sin^{-1} \left( \frac{\sigma_1 - \sigma_3}{\sigma_1 + \sigma_3} \right) \quad (2)$$

由于在三轴应力状态下,

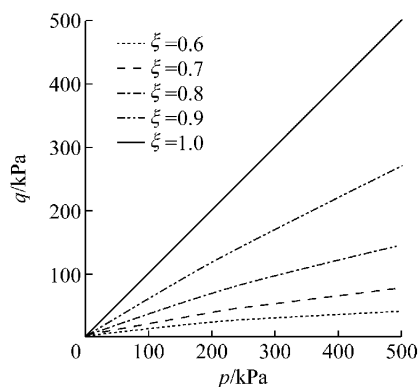


图 2  $\xi$  对强度的影响

Fig.2 Influence of  $\xi$  on failure line

$$p = \frac{\sigma_1 + 2\sigma_3}{3} \quad (3a)$$

$$q = \sigma_1 - \sigma_3 \quad (3b)$$

联立式(2)、(3), 可得:

$$p = \frac{3 - \sin \varphi}{3(1 - \sin \varphi)} \sigma_3 \quad (4a)$$

$$q = \frac{2 \sin \varphi}{1 - \sin \varphi} \sigma_3 \quad (4b)$$

将式(4)代入式(1), 可得:

$$\frac{2 \sin \varphi}{1 - \sin \varphi} - M_f \left[ \frac{3 - \sin \varphi}{3(1 - \sin \varphi)} \right]^\xi \sigma_3^\xi = 0 \quad (5)$$

从式(5)可看出, 通过非线性强度准则得到的内摩擦角  $\varphi$  不仅与强度参数  $M_f$  和  $\xi$  有关, 且与围压有关。 $\varphi$  的预测结果随各参数的变化规律如图 3—5 所示。 $\varphi$  随  $M_f$  增大而增大,  $\sigma_3$  越小,  $\varphi$  增幅越大, 随  $\xi$  增大而增大,  $M_f$  越大, 增幅越大; 随初始围压  $\sigma_3$  增大而减小,  $M_f$  越大, 降幅越大。

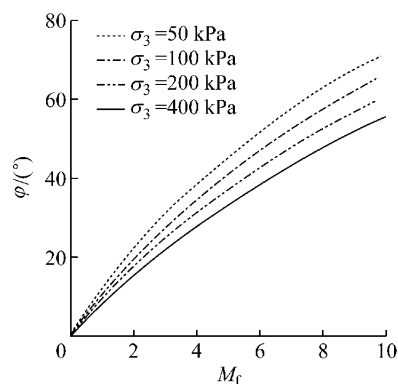


图 3  $M_f$  对内摩擦角的影响

Fig.3 Influence of  $M_f$  on friction angle

## 2 城市固废本构模型

通过非线性强度准则建立屈服函数, 并根据剪胀特性获得塑性势函数  $F$  和  $Q$ , 分别为

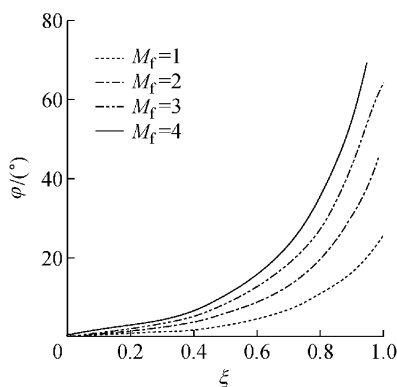
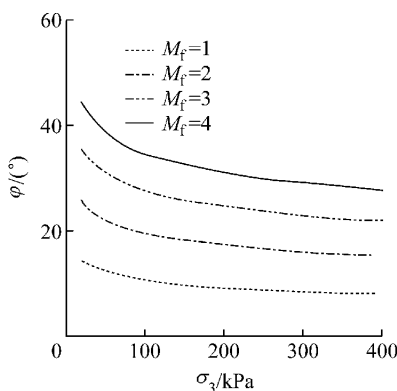
图4  $\xi$  对内摩擦角的影响 ( $\sigma_3 = 100$  kPa)Fig.4 Influence of  $\xi$  on friction angle

图5 初始围压对内摩擦角的影响

Fig.5 Influence of confining stress on friction angle

$$F = q - Mp^{\xi} = 0 \quad (6a)$$

$$Q = q + \frac{A_d M_c p}{1-A} \left[ 1 + \left( \frac{p}{p_0} \right)^{-(1-A_d)} \right] = 0 \quad (6b)$$

式中: 平均应力  $p = \sigma_{ii}/3$ ;  $p_0$  为初始平均应力; 广义剪应力  $q = \sqrt{3s_{ij}s_{ij}/2}$ ; 偏应力  $s_{ij} = \sigma_{ij} - \delta_{ij}p$ ;  $M$  为反映屈服特性的参数;  $M_c$  代表剪缩向剪胀转换的临界应力比;  $A_d$  为剪胀性模型参数;  $A$  为拟合参数。

为合理描述固废的体变特性, 剪胀参数比视为一个与初始围压有关的量, 即表示为

$$M_c = M_{co} - \lambda \lg \left( \frac{\sigma_c}{p_{at}} \right) \quad (7)$$

式中:  $M_{co}$ 、 $\lambda$  为描述剪胀特性的材料参数;  $\sigma_c$  为初始围压;  $p_{at} = 101.3$  kPa, 为大气压力。

材料硬化特性采用增量形式的硬化准则<sup>[14]</sup>:

$$d\epsilon_s^p = \frac{pM}{h_s G(M_f - M)} dM \quad (8)$$

式中:  $G$  为弹性剪切模量;  $M_f$  为峰值状态应力比参数; 等效塑性剪切应变  $\epsilon_s^p = \sqrt{2e_{ij}e_{ij}/3}$ ,  $e_{ij} = \epsilon_{ij} - \delta_{ij}\epsilon_{ii}/3$ ;  $h_s$  为应力-应变关系拟合参数。

将式(8)进行积分, 可得:

$$\epsilon_s^p = -\frac{p}{h_s G} \left[ M + M_f \ln \left( 1 - \frac{M}{M_f} \right) \right] \quad (9)$$

通过将以上建立的屈服函数、塑性势函数及硬化准则, 得到弹塑性本构关系如下所示:

$$\dot{\sigma}_{ij} = D_{ijkl}^{ep} \dot{\epsilon}_{kl} \quad (10)$$

式中:  $\dot{\sigma}_{ij}$  为应力率;  $\dot{\epsilon}_{ij}$  为应变率;  $D_{ijkl}^e$  为弹塑性模量。

其中, 弹塑性模量为:

$$D_{ijkl}^{ep} = \left( K - \frac{2}{3}G \right) \delta_{ij} \delta_{kl} + G(\delta_{ik} \delta_{jl} + \delta_{il} \delta_{jk}) - \frac{D_{ijmn}^e \frac{\partial Q}{\partial \sigma_{mn}} \left( \frac{\partial F}{\partial \sigma_{pq}} \right)^T D_{pqkl}^e}{\left( \frac{\partial F}{\partial \sigma_{uu}} \right)^T D_{uest}^e \frac{\partial Q}{\partial \sigma_{st}} + H_p} \quad (11)$$

式中,  $D_{ijmn}^e$  为弹性模量张量。

利用式(6)、(8), 得到硬化模量  $H_p$  为

$$H_p = \frac{\partial F}{\partial M} \frac{\partial M}{\partial \epsilon_s^p} = \frac{h_s G (M_f - M)}{M} p^{\xi-1} \quad (12)$$

为更好地模拟固废的应力-应变特性, 体积模量  $K$  和剪切模量  $G$  均取为与材料孔隙比相关的函数:

$$\begin{cases} K = \frac{2(1+\nu)}{3(1-2\nu)} G \\ G = G_0 p_{at} \frac{(e^* - e)^2}{1+e} \sqrt{\frac{p}{p_{at}}} \end{cases} \quad (13)$$

式中:  $G_0$  为剪切模量参数,  $\nu$  为泊松比,  $e^*$  为孔隙比参考值;  $e$  为当前孔隙比。

### 3 三轴试验模拟验证

#### 3.1 力学生物预处理(MBT)固废试验

首先模拟 Bhandari 和 Powrie<sup>[5]</sup> 针对力学生物预处理(mechanical-biological-treatment, MBT)固废三轴固结排水剪切试验结果。试样为直径 10 cm、高 20 cm 的圆柱体, 初始孔隙比为 1.0。通过固废弹性特性选取参数  $G_0$ 、 $\nu$ , 根据试样孔隙特性选取  $e^*$ ,  $M_f$  和  $\xi$  通过强度特性选取,  $M_{co}$  和  $\lambda$  通过体变特性选取,  $h_s$  为拟合参数。根据表 1 参数, 对围压为 50、100、200、400 kPa 条件下的试验结果进行模拟。

表 1 模型参数

Tab. 1 Model parameter

材料类型	$G_0$	$\nu$	$e^*$	$M_f$	$\xi$	$M_{co}$	$h_s$	$\lambda$
MBT 固废	250	0.3	1.97	12.8	0.65	1.82	3.8	0.60
成都固废	100	0.3	2.97	4.4	0.88	2.4	2.8	0.58

采用幂函数非线性强度准则预测的固废抗剪强度结果如图 6 所示, 预测值与试验值符合较好。

考虑剪胀参数随压力水平的变化, 采用如图 7 所示的剪胀参数, 模拟得到应力-应变关系曲线如图

8所示,通过与试验对比表明,本模型能合理反映初始围压对应力-应变关系的影响特性。

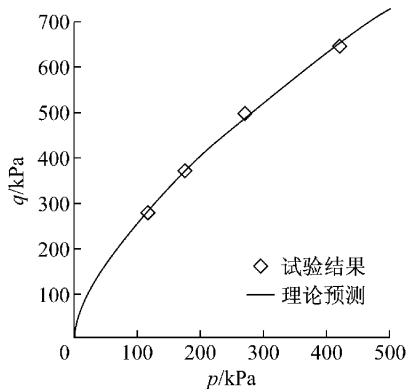


图6 MBT 固废强度预测

Fig. 6 Strength prediction of MBT MSW

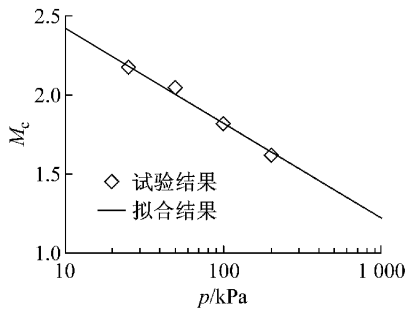


图7  $M_c$  随平均应力的变化关系

Fig. 7 Variation of  $M_c$  with mean pressure

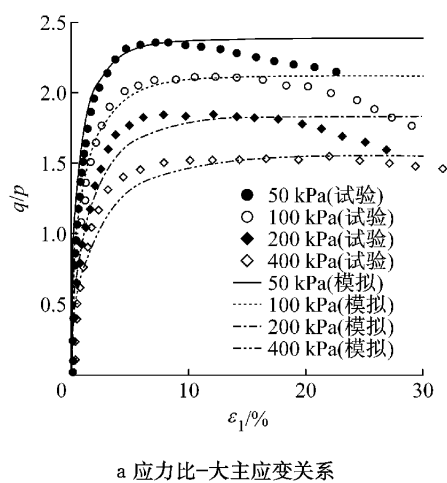
### 3.2 成都某填埋场固废试验

进一步对李俊超等<sup>[15]</sup>的三轴固结排水剪切试验结果进行模拟。固废采自成都某填埋场5~15 m深度处,直径为10 cm、高度为20 cm。根据现场实测结果,试样初始孔隙比取2.2。采用如表1所示的模型参数,对初始围压为50、100、150、250 kPa条件下的4组试验结果进行模拟。通过本文非线性强度准则预测的强度值如图9所示,从图中可看出,该准则能合理反映平均应力对固废强度的影响。

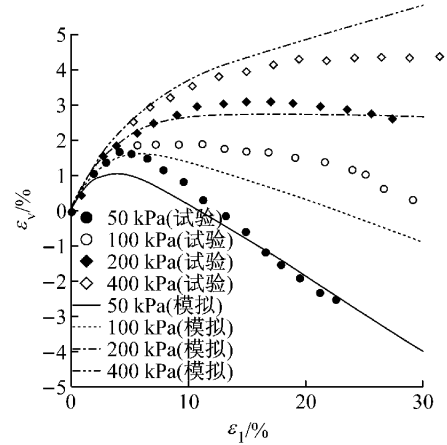
应力-应变特性模拟结果与试验对比如图10a所示,模拟结果与试验基本一致。从试验结果可知,体缩型固废的体变与常规土体不同,即初始围压越大,体变反而越小。为合理描述这一特性,假定剪胀性参数与应力有关的量,这里取 $A = e^{-p/p_0}$ 。从图10b的模拟结果可看出,采用该剪胀参数能合理反映试样随初始围压增大压缩性降低的现象,且模型预测结果与试验结果符合较好。

## 4 结论

为反映城市固废剪切强度随平均压力的变化,



a 应力比-大主应变关系



b 体积应变-大主应变关系

图8 MBT 固废本构模拟

Fig. 8 Constitutive modeling of MBT MSW

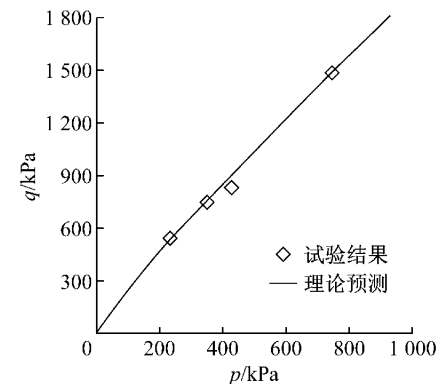


图9 成都填埋场固废剪切强度预测

Fig. 9 Shear strength prediction of MSW at Chengdu landfill

建立了一个幂函数非线性强度准则,并分析了剪切强度随参数的变化特性。进一步分析了向线性Mohr-Coulomb准则转换所得内摩擦角的变化规律,结果表明,该准则能合理反映摩擦角随围压而降低的规律,并与试验结果一致。基于增量双曲线硬化准则,并采用合理的塑性势函数,建立了一个适用于固

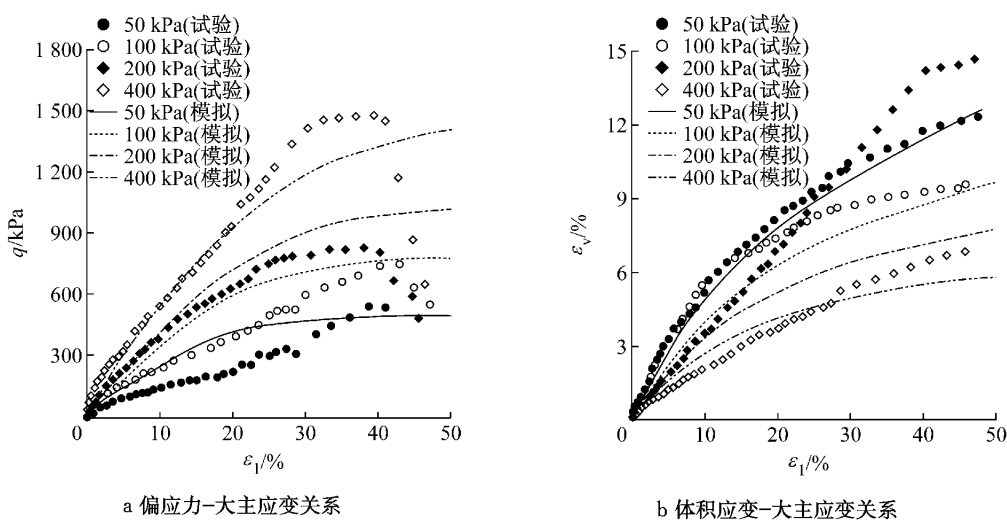


图 10 成都填埋场固废本构模拟

Fig. 10 Constitutive modeling of MSW at Chengdu landfill

废的非关联流动弹塑性本构模型。通过对一系列三轴固结排水试验结果的模拟表明,所建立的模型不仅能合理反映初始围压对应力-应变关系的影响,并能正确模拟体变随围压的变化。由于固废体变特性复杂,与常规土体可能差异较大,因而尚需开展进一步的试验和理论研究。

## 参考文献:

- [1] 冯世进, 周子范, 陈云敏, 等. 城市固体废弃物剪切强度参数的研究[J]. 浙江大学学报: 工学版, 2005, 39(7): 987.  
FENG Shijin, ZHOU Zifan, CHEN Yunmin, et al. Study on shear strength parameters of municipal solid waster [J]. Journal of Zhejiang University: Engineering Science, 2005, 39 (7): 987.
- [2] Zhan T L T, Chen Y M, Ling W A. Shear strength characterization of municipal solid waste at the Suzhou landfill, China[J]. Engineering Geology, 2008, 97(3-4): 97.
- [3] Bray J D, Zekkos D, Kavazajian J E, et al. Shear strength of municipal solid waste [J]. Journal of Geotechnical and Geoenvironmental Engineering, ASCE, 2009, 135(6): 709.
- [4] Bareither C A, Benson C H, Edil T B. Effects of waste composition and decomposition on the shear strength of municipal solid waste [J]. Journal of Geotechnical and Geoenvironmental Engineering, ASCE, 2012, 138(10): 1161.
- [5] Bhandari A R, Powrie W. Behavior of an MBT waste in monotonic triaxial shear tests[J]. Waste Management, 2013, 33(4): 881.
- [6] Stark T D, Huvaj-Sarihan N, Li G. Shear strength of municipal solid waste for stability analyses [J]. Engineering Geology, 2009, 57(8): 1911.
- [7] Baker R. Nonlinear Mohr envelopes based on triaxial data[J]. Journal of Geotechnical and Geoenvironmental Engineering, ASCE, 2004, 130(5): 498.
- [8] Jones D R V, Dixon N. Landfill lining stability and integrity:

the role of waste settlement[J]. Geotextiles and Geomembranes, 2005, 23(1): 27.

- [9] 吕玺琳, 赖海波, 黄茂松. 饱和土体静态液化失稳理论预测[J]. 岩土力学, 2014, 35(5): 1330.  
LÜ Xilin, LAI Haibo, HUANG Maosong. Theoretically predicting instability of static liquefaction of saturated soils[J]. Rock and Soil Mechanics, 2014, 35(5): 1330.
- [10] Machado S L, Miriam F C, Orencio M V. Constitutive model for municipal solid waste [J]. Journal of Geotechnical and Geoenvironmental Engineering, ASCE, 2002, 128(11): 940.
- [11] 冯世进, 陈云敏, 高丽亚, 等. 城市固体废弃物的剪切强度机理及本构关系[J]. 岩土力学, 2007, 28(12): 2524.  
FENG Shijin, CHEN Yunmin, GAO Liya, et al. Shear strength mechanism and constitutive model of municipal solid waste[J]. Rock and Soil Mechanics. 2007, 28(12): 2524.
- [12] 高丽亚, 冯世进, 陈云敏, 等. 城市固体废弃物大直径三轴压缩试验研究[J]. 同济大学学报: 自然科学版, 2007, 35(12): 1602.  
GAO Liya, FENG Shijin, CHEN Yunmin, et al. Large-scale triaxial compression test for municipal solid waste[J]. Journal of Tongji University: Natural Science, 2007, 35(12): 1602.
- [13] Lu X, Lai H, Huang M, Nonlinear strength criterion for municipal solid waste [C]//Computer Methods and Recent Advances in Geomechanics, London: Taylor & Francis Group, 2014: 279-284.
- [14] Pietruszczak S, Stolle F E. Deformation of strain softening material, part II: modelling of strain softening response[J]. Computers and Geotechnics, 1987, 4(2): 109.
- [15] 李俊超, 朱斌, 连宝琴, 等. 城市固体废弃物应变硬化机制与强度参数确定方法[J]. 岩石力学与工程学报, 2014, 33(4): 826.  
LI Junchao, ZHU Bin, LIAN Baoqin, et al. Strain hardening mechanism and methods for determining strength parameters of municipal solid waste[J]. Chinese Journal of Rock Mechanics and Engineering, 2014, 33(4): 826.